

$$s = T(r) = (L-1) \int_0^r p_r(w) dw = \frac{2}{L-1} \int_0^r w dw = \frac{r^2}{L-1}$$

Υποθέστε στη συνέχεια πως κατασκευάζουμε μία νέα εικόνα με τιμές έντασης που περιγράφονται από τη μεταβλητή  $s$ , η οποία έχει προκύψει δια της χρήσεως του παραπάνω μετασχηματισμού με άλλα λόγια, τιμές του  $s$  προκύπτουν υψώνοντας στο τετράγωνο της αντίστοιχες τιμές έντασης  $r$  της εικόνας εισόδου διαιρώντας τες στη συνέχεια με το  $(L-1)$ . Θεωρήστε για παράδειγμα μια εικόνα για την οποία είναι  $L=10$  και υποθέστε πως κάποιο εικονοστοιχείο που βρίσκεται σε μία αυθαίρετη θέση  $(x, y)$  της εικόνας εισόδου αντιστοιχεί σε τιμή έντασης  $r=3$ . Στην περίπτωση αυτή η τιμή του αντίστοιχου εικονοστοιχείου στην εικόνα εισόδου θα είναι η  $s = T(r) = r^2/9 = 1$ . Μπορούμε να επαληθεύσουμε πως η συνάρτηση πυκνόπτωσης πιθανότητας των εντάσεων στη νέα εικόνα θα είναι ομοιόμορφη, αντικαθιστώντας απλά τη συνάρτηση  $p_r(r)$  στην Εξίσωση (3.3-6) και χρησιμοποιώντας το γεγονός πως  $s = r^2/(L-1)$ . Θα είναι τότε

$$p_s(s) = p_r(r) \left| \frac{dr}{ds} \right| = \frac{2r}{(L-1)^2} \left| \left[ \frac{ds}{dr} \right]^{-1} \right| = \frac{2r}{(L-1)^2} \left| \left[ \frac{d}{dr} \frac{r^2}{L-1} \right]^{-1} \right| = \frac{2r}{(L-1)^2} \left| \frac{(L-1)}{2r} \right| = \frac{1}{L-1}$$

με το τελευταίο βήμα να προκύπτει από το γεγονός πως η τιμή του  $r$  είναι μη αρνητική ενώ έχουμε υποθέσει πως  $L > 1$ . Όπως αναμέναμε, το αποτέλεσμα στο οποίο καταλήξαμε εκφράζει μία ομοιόμορφη συνάρτηση πυκνόπτωσης πιθανότητας.

Στην περίπτωση κατά τις οποίες οι τιμές που πραγματευόμαστε δεν είναι συνεχείς αλλά διακριτές, καταφεύγουμε στη χρήση πιθανοτήτων (δηλαδή τημάνια ιστογράμματος) και αθροισμάτων αντί για συναρτήσεις πυκνόπτωσης πιθανότητας και ολοκληρώματα (ας σημειωθεί ωστόσο, πως η συνθήκη της μονοτονίας που διατυπώθηκε προηγουμένως εξακολουθεί να ισχύει). Όπως αναφέραμε και προηγουμένως, η πιθανότητα εμφάνισης του επιπέδου έντασης σε μία ψηφιακή εικόνα, δίδεται από την εξίσωση

$$p_k(r_k) = \frac{n_k}{MN} \quad (3.14)$$

όπου  $MN$  είναι το συνολικό πλήθος των εικονοστοιχείων της εικόνας,  $n_k$  είναι το πλήθος των εικονοστοιχείων με τιμή έντασης  $r_k$ , ενώ η παράμετρος  $L$  εκφράζει όπως και προηγουμένως τον αριθμό των δυνατών επιπέδων έντασης στην εικόνα (για παράδειγμα η τιμή αυτού του πεδίου για μια εικόνα των 8 bits είναι ίση με 256). Όπως επισημάναμε και στην αρχή αυτής της ενότητας, το γράφημα της συνάρτησης  $p_k(r_k)$  συναρτήσει της μεταβλητής  $r_k$ , πολύ συχνά αναφέρεται ως ιστόγραμμα.

Η διακριτή έκδοση του μετασχηματισμού που δίδεται από την Εξίσωση (3-11) έχει τη μορφή

$$s_k = T(r_k) = (L-1) \sum_{j=0}^k p_r(r_j) = \frac{(L-1)}{MN} \sum_{j=0}^k n_j, \quad k = 0, 1, 2, \dots, L-1 \quad (3.15)$$

όπου, όπως και πριν, η παράμετρος  $L$  εκφράζει το πλήθος των δυνατών επιπέδων έντασης σε μία εικόνα (δηλαδή 256 επίπεδα, για μία εικόνα των 8 bit). Επομένως, η επεξεργασμένη εικόνα (δηλαδή η εικόνα εισόδου) κατασκευάζεται, χρησιμοποιώντας την Εξίσωση (3-15), με απεικόνιση του κάθε εικονοστοιχείου της εικόνας εισόδου με τιμή έντασης  $r_k$ , σε ένα αντίστοιχο εικονοστοιχείο με επίπεδο έντασης  $s_k$  στην εικόνα εισόδου. Αυτή η διαδικασία ονομάζεται μετασχηματισμός εξίσωσης ή γραμμικοποίησης ιστογράμματος. Δεν είναι δύσκολο να αποδείξουμε περισσότερες λεπτομέρειες δείτε το Πρόβλημα 3.9) πως αυτός ο μετασχηματισμός ικανοποιεί τις συνθήκες (a) και (b) που διατυπώσαμε προηγουμένως σε αυτή την ενότητα.

### ΠΑΡΑΔΕΙΓΜΑ 3-5

#### Επίδειξη της μηχανικής της εξίσωσης ιστογράμματος.

Πριν συνεχίσουμε, θα είναι χρήσιμο να μελετήσουμε ένα απλό παράδειγμα. Θεωρήστε μία εικόνα που κωδικοποιείται με 3 bits (από όπου προκύπτει η τιμή  $L=8$ ) και έχει μέγεθος  $64 \times 64$  εικονοστοιχεία (και επομένως  $\theta$  είναι  $MN=4096$ ) η οποία περιγράφεται από την κατανομή έντασης του Πίνακα 3.1, με τις τιμές έντασης να είναι ακέραιες τιμές στο διάστημα  $[0, L-1] = [0, 7]$ . Το ιστόγραμμα αυτής της εικόνας παρουσιάζεται στην Εικόνα 3.19(a), ενώ οι τιμές του μετασχηματισμού ισοστάθμισης του ιστογράμματος μπορούν να υπολογιστούν

παραποτάντας την Εξίσωση (3-15) για παράδειγμα, θα έχουμε

$$s_0 = T(r_0) = 7 \sum_{j=0}^0 p_r(r_j) = 7p_r(r_0) = 7p_r(r_0) = 1.33$$

Η παρόμοιο τρόπο θα είναι

$$s_1 = T(r_1) = 7 \sum_{j=0}^1 p_r(r_j) = 7p_r(r_0) + 7p_r(r_1) = 3.08$$

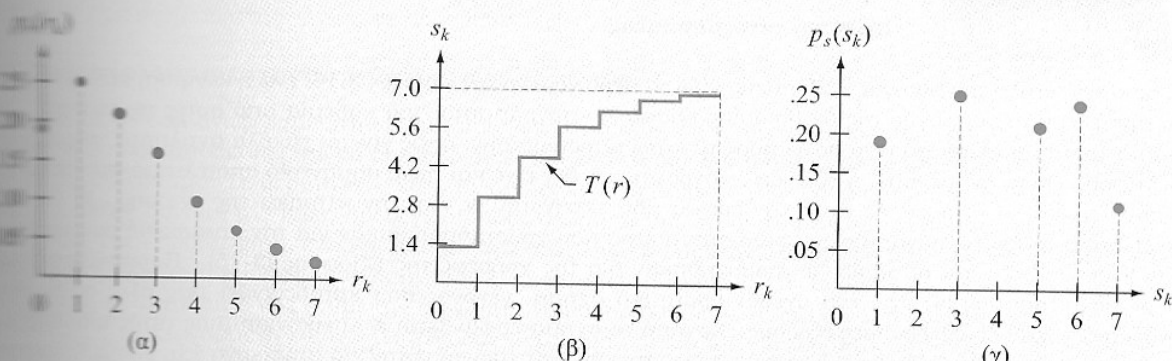
κατά από παρόμοιες πράξεις βρίσκουμε ότι

$$s_2 = 4.55 \quad s_3 = 5.67 \quad s_4 = 6.23 \quad s_5 = 6.65 \quad s_6 = 6.86 \quad s_7 = 7.00$$

η συνάρτηση μετασχηματισμού έχει σχήμα σκάλας όπως απεικονίζεται στο Σχήμα 3.19(β).

**Σχήμα 3.1** Κατανομή έντασης και τιμές ιστογραμμάτων για ψηφιακή εικόνα των 3 bits διαστάσεων  $64 \times 64$ .

$r_k$	$n_k$	$p_r(r_k) = n_k / MN$
$r_0 = 0$	790	0.19
$r_1 = 1$	1023	0.25
$r_2 = 2$	850	0.21
$r_3 = 3$	656	0.16
$r_4 = 4$	329	0.08
$r_5 = 5$	245	0.06
$r_6 = 6$	122	0.03
$r_7 = 7$	81	0.02



**Σχήμα 3.19** (Επίδειξη της διαδικασίας ισοστάθμισης ιστογράμματος. Από αριστερά προς τα δεξιά: (a) Το αριστερό ιστόγραμμα, (b) η συνάρτηση του μετασχηματισμού και (c) το ισοσταθμισμένο ιστόγραμμα.

Το σημείο, οι τιμές του  $s$  μικτοί αριθμοί (δηλαδή περιέχουν κλάσματα) αφού υπολογίστηκαν από τιμών πιθανότητας και επομένως θα πρέπει να τις στρογγυλοποιήσουμε προς την πλησιέστερη ως ακέραια τιμή στην περιοχή τιμών  $[0, 7]$ . Θα είναι λοιπόν

$$\begin{array}{llll} s_0 = 1.33 \rightarrow 1 & s_4 = 6.23 \rightarrow 6 & s_1 = 3.08 \rightarrow 3 & s_5 = 6.65 \rightarrow 7 \\ s_2 = 4.55 \rightarrow 5 & s_6 = 6.86 \rightarrow 7 & s_3 = 5.67 \rightarrow 6 & s_7 = 7.00 \rightarrow 7 \end{array}$$

τις τιμές του προκύπτοντος ιστογράμματος. Παρατηρήστε πως ο μετασχηματισμός έδωσε μόνο διαφορετικά έντασης. Επειδή η τιμή  $r_0 = 0$  είχε απεικονιστεί στην τιμή  $s_0 = 1$ , υπάρχουν 790 εικόνες στην εικόνα που σχετίζεται με το ισοσταθμισμένο ιστόγραμμα, τα οποία θα έχουν αυτή την τιμή (Πίνακα 3.1). Επιπλέον, στην εικόνα υπάρχουν 1023 εικονοστοιχεία με τιμή  $s_1 = 3$  και 850 τέτοια

στοιχεία με τιμή  $s_2 = 5$ . Ωτόσο, τόσο το  $r_3$  όσο και το  $r_4$  έχουν απεικονιστεί στην ίδια τιμή - στην τιμή 6 - και επομένως θα υπάρχουν  $(656+329)=985$  εικονοστοιχεία στην εικόνα που θα χαρακτηρίζονται από αυτή την τιμή έντασης. Προχωρώντας στη διαίρεση αυτών των αριθμών με την τιμή  $MN = 4096$ , λαμβάνουμε το ιστόγραμμα που απεικονίζεται στο Σχήμα 3.19(γ).

Επειδή ένα ιστόγραμμα δεν αποτελεί παρά μία προσέγγιση της ουνάρτησης πυκνότητας πιθανότητας, ενώ δεν υπάρχουν νέα επιτρεπτά επίπεδα έντασης που να δημιουργούνται ως το αποτέλεσμα αυτής της διαδικασίας, τα ιστογράμματα που είναι τελείως επίπεδα, χρησιμοποιούνται πολύ σπάνια στις πρακτικές εφαρμογές εξίσωσης ιστογράμματος, χρησιμοποιώντας τις μεθόδους που μόλις σχολιάσαμε. Επομένως και σε αντίθεση με το συνεχές ανάλογο αυτής της περίπτωσης, δεν μπορεί (γενικά) να αποδειχθεί πως η διακριτή εξίσωση ιστόγραμματος οδηγεί σε ένα ομοιόμορφο ιστόγραμμα. Ωτόσο, όπως θα δούμε σύντομα, η χρήση της Εξίσωσης (3-15) έχει γενικά την τάση να διασκορπίζει το ιστόγραμμα της εικόνας εισόδου έτσι ώστε τα επίπεδα έντασης της προκύπτουσας εικόνας να εκτείνονται σε μία ευρύτερη περιοχή της κλίμακας της έντασης. Το τελικό αποτέλεσμα αυτής της διαδικασίας είναι η βελτίωση της αντίθεσης της εικόνας.

Νωρίτερα σε αυτή την ενότητα συζητήσαμε τα πολλά πλεονεκτήματα που προκύπτουν από τη διασπορά των τιμών έντασης σε όλο το εύρος της κλίμακας του γκρι. Η μέθοδος που μόλις περιγράψαμε παράγει τιμές έντασης παχακτηρίζονται από αυτήν την ίσοτη και επιπλέον, έχει το πλεονέκτημα πως είναι πλήρως αυτοματοποιημένη. Μάλλον λόγια, δοθείσας μιας εικόνας, η επεξεργασία του ιστογράμματος, συνίσταται εξ ολοκλήρου στην υλοποίηση της Εξίσωσης (3-15) η οποία με τη σειρά της στηρίζεται στην πληροφορία που μπορεί άμεσα να εξαχθεί από τη δοθείσα εικόνα και χωρίς την ανάγκη να προχωρήσουμε στον καθορισμό πρόσθετων παραμέτρων. Αυτό το χαρακτηριστικό της αυτοματοποίησης, είναι ιδιαίτερα σημαντικό.

Ο αντίστροφος μετασχηματισμός από το  $s$  πίσω στο  $r$  ουμβολίζεται ως

$$r_k = T^{-1}(s_k) \quad (3.16)$$

Μπορεί να αποδειχθεί (για λεπτομέρειες δείτε το Πρόβλημα 3.9) πως αυτός ο αντίστροφος μετασχηματισμός ικανοποιεί τις συνθήκες (α') και (β), μόνο εάν όλα τα επίπεδα  $r_k$  ( $k = 0, 1, 2, \dots, L - 1$ ) εμφανίζονται στην εικόνα εισόδου: αυτή η συνθήκη με τη σειρά της υπονοεί πως δεν υπάρχουν συνιστώσες στο ιστόγραμμα της εικόνας εισόδου οι οποίες να έχουν τιμή ίση με το μηδέν. Αν και ο αντίστροφος μετασχηματισμός δεν χρησιμοποιείται στην ισοστάθμιση ιστογράμματος, ωστόσο, κατέχει κεντρικό ρόλο στο σχήμα του ταιριάσματος ιστογράμματος που θα αναπτύξουμε μετά το επόμενο παράδειγμα.

### ΠΑΡΑΔΕΙΓΜΑ 3-6

#### Εξίσωση ιστογράμματος.

Η αριστερή στήλη της Εικόνας 3.20 απεικονίζει τα περιεχόμενα της Εικόνας 3.16, ενώ η κεντρική στήλη δείχνει το αποτέλεσμα εφαρμογής της διαδικασίας εξίσωσης ιστογράμματος για καθεμία από αυτές τις εικόνες. Τα πρώτα τρία αποτέλεσματα από πάνω προς τα κάτω παρουσιάζουν, όπως γίνεται εύκολα αντιληπτό, σημαντική βελτίωση. Όπως αναμέναμε, η εξίσωση ιστογράμματος δεν είχε και πολύ σημαντικό αποτέλεσμα στην τέταρτη εικόνα επειδή οι εντάσεις σε αυτή την εικόνα ήδη εκτεινόταν σε όλη την κλίμακα της έντασης. Η Εικόνα 3.21 παρουσιάζει τις συναρτήσεις μετασχηματισμού που χρησιμοποιήθηκαν για την κατασκευή των εικόνων της Εικόνας 3.20 και οι οποίες δημιουργήθηκαν δια της χρήσεως της Εξίσωσης (3-15). Παρατηρήστε πως ο μετασχηματισμός (4) έχει ένα σχεδόν γραμμικό σχήμα, γεγονός που καταδεικνύει πως όλες οι είσοδοι απεικονίστηκαν σε σχεδόν ίσες εξόδους. Σε αυτό το σχήμα εμφανίζεται η απεικόνιση μιας τιμής εισόδου  $r_k$ , στην αντίστοιχη τιμή εξόδου  $s_k$ . Σε αυτή την περίπτωση, η απεικόνιση ήταν για την εικόνα 1 [η οποία βρίσκεται επάνω αριστερά στην Εικόνα 3.21] και καταδεικνύει πως μία σκοτεινή τιμή είχε απεικονιστεί σε μία πολύ πιο φωτεινή τιμή, συνεισφέροντας με τον τρόπο αυτό, στη φωτεινότητα της εικόνας εξόδου.

Η τρίτη στήλη στην Εικόνα 3.20, απεικονίζει με διαγραμματικό τρόπο τα ιστογράμματα των προκυπτουσών εικόνων. Είναι ενδιαφέρον να επισημάνουμε, πως ενώ όλα αυτά τα ιστογράμματα είναι διαφορετικά, ωστόσο, οι εικόνες που προκύπτουν από τις ισοστάθμισμένες εκδόσεις τους, μοιάζουν πάρα πολύ μεταξύ τους. Ας σημειωθεί πως στην πραγματικότητα, κάπι τέτοιο είναι αναμενόμενο, αφού η βασική διαφορά ανάμεσα στις εικόνες της αριστερής στήλης δεν αφορά στο περιεχόμενο αλλά την αντίθεσή τους. Με άλλα λόγια, επειδή αυτές οι εικόνες έχουν το ίδιο περιεχόμενο, η αύξηση της αντίθεσης που προκύπτει από αυτή την ισοστάθμιση ιστογράμματος, είναι αρκετή ώστε να καταστήσει οπτικά μη διακρίσιμες μεταξύ τους τις οποιεσδήποτε διαφορές έντασης υφίστανται στην εικόνα. Λαμβάνοντας υπόψη τις οημαντικές διαφορές στην αντίθεση που χαρακτηρίζεται αρχικές εικόνες, αυτό το παράδειγμα επιδεικνύει με τον πλέον παραστατικό τρόπο, τη μεγάλη τοχύ της μεθόδου εξίσωσης ιστογράμματος ως ένα εργαλείο προσαρμοζόμενης ενίσχυσης της αντίθεσης σε μία εικόνα.